

## ԲՈՐՉՔԻ ԼՈՆՁԵՐԻ ԶԵՎԱՓՈԽՈՒԹՅՈՒՆՆԵՐԻ ՄԱՍԻՆ\*

Դոկտոր Ռ. ՑԻՇԻՆՅԱԼԻ\*\*

ՀԱՅԵՐԵՆ ԵՎ ՌՈՒՍԵՐԵՆ ԹԱՐԳՄԱՆՈՒԹՅՈՒՆՆԵՐԻ ՆԱԽԱԹԱՆ

Ինձ մեծ հաճույք է պատճառում այս «Գեոմեխանիկայի պրոբլեմներ» աշխատուրյուններում իմ հողվածի հրատարակումը հայ կողեզաների համար, որոնք հայտնի են իրենց աշխատանքի բարձր ոճով: Այն ինչ կարող է հետաքրքրություն առաջացնել իմ ունկնդիրների համար, բացի դիտումների ավյալներից այս հողվածի կոնցեպցիան և նրա տեսակետը:

Հողվածում շոշափվում են երկու հիմնական դրույթներ: Երկրուն էլ նախադրյալներն են ժայռապարների դեֆորմացիաների ապագա առավել մաքարերի տևիսնիկական հսկողության համար:

Սուազին խնդիրը — իմասնալ բնական ժայռապարների հնարավոր ոնակցիաների մասին ավարտված դեֆորմացիաների «շարժման պատկերի» ուսումնասիրման միջոցով: Այդ պետք է կատարվի պարզ ֆենոմենոլոգիական (Երեխուրաբանական) եղանակով, այսինքն երկրաբանության տերմիններով և մերույներով:

Երկրորդ պրոբլեմը կայանում է այդ երկրաբանական դիտումների մեխանիկական մեխանրանուրյան մեջ՝ երկրաբանական նկարագրությունների «քարզման» մեխանիկայի տերմիններով:

Միզուց հետաքրքրի է նաև նշել այս աշխատության ստեղծման և նրա կոնցեպցիայի մասին:

Մի կողմից մենք պետք է վկայակոչենք այն փաստը, որ ալպիական երկրում նմանօրինակ երկույթները բացահայտվում են շատ հանախ: Նրանք առավել հետաքրքրություն են հանդես բերում բազալտական շինարարության ասպարեզում և որոշակի դեպքերում հույնիսկ դառնում է ուղղունալ երկրաբանության պրոբլեմ:

Մյուս կողմից Զանդերի և Շմիդտի հետազոտություններից հետո, մեր դարի համար թափանցելուց ի վեր մեխանիկական տեսակետի կիրառումը երկրաբանական պրոբլեմների հանդեպ իրենցից ներկայացնում են Ավստրիա-

\* Անգլերենից թարգմանեց Լ. Արշակունի:

\*\* Վիեննայի (Ավստրիա) Համալսարանի երկրաբանական ինստիտուտի ասիստենտ:

լի երկրաբանական գիտությունների նկատելի մասը (օր. *Clar, 1965; Müller, 1963; Sander, 1930; Schmidt, 1932; Stini, 1929—1957\**).

Ի լրացումն Զանդերի և Շմիդտի «ստրոկուրային բարաբանության» զաղափառները (անգլերեն *structural petrology* տերմինը գերմաներեն *Gefügekunde* տերմինի ոչ ճշգրիտ բարձմանությունն է, որը չի համապատասխանում այդ գիտության նպատակներին) հանրահայտ են ավստրիական երկրաբանների շրջանում: Անց *Gefügekunde* գիտություն թվում է ստրոկուրային երկրաբանության առավել համապատասխան ձեր մեխանիկական վերլուծության համար երկրաբանական փաստերի հախապատրաստման գործում:

ՈՒ. ՑԻՇԻՆ ՍԿԻ

ՈՒ ՖԵՐԱՄ: Վերջին տարիների ընթացքում անցկացվեց ժայռապարների խոշոր սուղանքների և սողքի երկրաբանական հետազոտում: Այդ շարժումները հարթում էին այն լանջերը, որոնք անկայում դարձան հովտային սաղացաշտերի նաշանչի հետևանքով: Թերված է մի քանի տաղվել ուսուցանող օրինակների նկարագրություն, որոնք ցույց են տալիս, որ լեռնային ապարի սողքը հանդիսանում է բարձր լանջերի գեֆորմացիայի մի շատ կարևոր գործն է որ մակերես սային սահմանի գոյությունը անհարժեշատ է: Այդ շարժումների պատկերները կարող են հանգեցնել գեֆորմացիայի ընդհանուր պլանի, որը համապատասխանում է իդեալական լանջին: Դիֆորմացիայի այդ ընդհանուր պլանը որոշվում է արագությունների վեկտորներով և «մասնակի շարժումության» սեպով: Ընդունելով գրավիտացիայից առաջացած սահման գծային բաշխումը ուղղաձիգ ուղղությամբ, կարելի է եղրակացություն անել լեռնային զանգվածների մեխանիկական հատկությունների մասին:

1. Լեռնային զանգվածը ունի սահման դիմադրություն, որը աճում է հիգրոստատիկ մեջման հետ միասին և կախված է քննարկվող բնագավառից:

2. Ուսումնասիրելով բավականին մեծ բնագավառ, կարելի է շարժումը նկարագրել ունող զիական մողելի օգնությամբ, որը կոչվում է Հեֆելի «անկատար մածուցիկ հեղուկ»  $\varepsilon = a \tau$  ( $\varepsilon$ —դիֆորմացիայի արագություն,  $a$ =սահմանի լարում): Այժմ ա և ե պարամետրերի նշանակությունը կարող է սահմանվել միայն համեմատվելով այլ նյութերի հետ. նրանց ստույգ որոշումը պապա աշխատանքների խոդին է:

## 1. ՆԵՐԱՆՇՈՒԹՅՈՒՆ

1962 թ. Կ. Տերցագին հրապարակեց մի հոդված «Դիք լանջերի կար մությունը չհողմահարված կարծը ժայռապաներում» (Տերցագի, 1964): Այս հոդվածի վերջին պիլում ցույց է տրվում որ «ողործնականորեն ոչինչ հայտնի շիխորադիր խոշոր սողանքների մեխանիկմի վերաբերյալ»: Ինքը, Տերցագին հավանորեն հնթագրում է, որ բոլոր երկույթները, որոնք կոչվում են Bergzerrereihsung «և եռնային մեղրում» ըստ Օ. Ամպֆերերի (Ampferer, 1939) և Talzuschub «սողք դեպի հովիտ» ըստ Ի. Շախնիի (Stini, 1941) վերաբերում են խորը տեղադրված սահեցման մակերեսների երկայնությամբ շարժումներին: Ապա նա մատնանշում է, որ սահեցմանը նախորդող և ժայռապարների շարժվող զանգվածի վրա ազդող սողունության մեծությունը մնում է անհայտ: Այս հարցերը կարևոր են ժայռապարների մեխանիկական վարքին վերաբերող մեր գործնական և տեսական դիտելիքների համար (Clar, 1959): Սրանից ենելով պրոֆ. Է. Քլարը արդեն 1960 թ. ինձ հանձնարարեց

\* Գրականությունը տե՛ս էջ 157—158:

ուլանչի տեկտոնիկայի» (Hangtektonik ըստ Զանդերի) ընդհանուր հետազոտում՝ և ևս կաշխատեմ այն պարզաբանել սույն հոդվածում:

Անցկացված բարտեղագրման առավել ապշեցուցիչ արդյունքն է հանդիպանում այն, որ ժայռապարների սողբը (կամ հոսքը) այնպիսի կարևոր դեր է խաղում բարձր լանջերի դեֆորմացիայում, որ սահեցման հիմնային հարության առկայությունը էական անհրաժեշտություն չի ներկայացնում, համեմայն գեպս բյուրեղավոր թերթաքարերում, որոնք ունեն բարձր «մասնակի շարժումնակություն» (Teilbeweglichkeit ըստ Զանդերի), որոնց վերաբերում են բերված օրինակները (Փիլիտները, փայլարոտ թերթաքարերը և պարագնեյսները):

## 2. ՕՐԻՆԱԿՆԵՐ

Իչարկե, գոյություն ունեն շատ դեպքեր, երբ շարժումը կենտրոնանում է հիմնային հարթություններում: Բավականին սովորական են նաև այն դեպքերը, որոնք ցույց են տալիս սահեցում պարզորոշ մակերեսով, ինչպես և սողբը տեղաշարժ արված զանգվածում: Դա պատկերվում է հետեւյալ երկու օրինակներով:

**Ֆլիս-Նիդեր Գալմիգ (Fließ-Nieder Gallmig)** լանդեկի հարավում, Տիրոլ.

Լանջը կազմված է «արևելյան-ալպյան կվարցֆիլիտների» և «ֆիլիտգնեյների» շերտախմբից, որոնք գահավեժ ընկնում են դեպի հյուսիս (հովտի ուղղությամբ): Տեղաշարժված զանգվածի արևմտյան կողմից սահեցման հիմնային մակերեսույթի մերկացումը կարելի է դիտել գագաթից մինչև ստորոտ: Արեվելյան մերկացումը այնքան էլ պարզ չի միայն լանջի ստորին մասում, որը, հավանաբար, կապված է սկզբնական մորֆոլոգիայի հետ (կազմված 1600 մ բարձրության վրա, ողողվածքը բաժանում է լանջը արևմտյան և արևելյան մասերի, նկ. 1\*): Այդ հարթության երկայնությամբ տեղաշարժված զանգվածի ցածր մասը անընդհատ ոլորք գործելով ծովում է գոգավորությամբ՝ ինն գետի ուղղությամբ, ոյացնելով դարախտի և ուղղաբերձ ափ: Այդ նշանակում է, որ սահող զանգվածի ստորին մասում սողբը տեղի է ունեցել նշանակալից շափով: Էանջի այս մասը ներկայացնում է զանգվածի հավելուրդի գոտի: Բայց այն հավասար է լանջի գագաթի զանգվածի դեֆիցիտի միայն մի փոքր մասի, որտեղ սահեցման հարթության մերկացումները շրջապատում են մեծ որմնախորշը: Տարբերությունը արդեն ողողամաշվել և տարվել է գետի հոսանքով: Ինն գետի երկարությամբ ենթակարգած ափի սողանքները ցույց են տալիս, որ մինչև օրս էլ շարժումը դեռևս մնում է ակտիվ:

**Պֆորչինկել (Pfortschwinkel)** Կյողնիցտալում (Կալս, Արևելյան Տիրոլ)

Այս ամֆիթատրոնի խոշոր «խեցին» իրենից հավանորեն առավելապես ներկայացնում է սահեցման մակերևույթ (նկ. 2): S-հարթությունների (թերթայնության հարթության, Զանդերի տերմին) կառուցվածքը (fabritic) կարող

\* Նկարները տե՛ս էջ 151—156:

է ավելի լավ բացատրվել «լանջի տեկտոնիկայով». այն նման է S-հարթությունների կառուցվածքին ստորև նկարագրված Մատրայ և Ռադենտայն օրինակներում: Կասկած չի կարող լինել, որ «խեցու» ստորին մասի մարմինը սողանքային զանգվածի մնացորդ է: Որոշ մորֆոլոգիական հանգամանքներից են լուզ չի կարելի ենթադրել, որ զանգվածը ողողամաշվել է մակերեսից: Այստեղից պետք է ենթադրել, որ զանգվածը սահման է զեպի ներքմ՝ պարզորոշ հարթության երկայնությամբ և ողողվել իր առջևից հոսող վտակով, ճիշտ այնպես, ինչպես դիտվել է Ֆլիս-Նիդեռ Գալմիդում: Այս ձևով ստացվեց դինամիկական հավասարակշռություն:

Հատուկ հետաքրքրություն է հարկավոր ցուցաբերել այն օրինակների հանգեղ, որոնք ցույց են տալիս մեծ դեֆորմացիաներ առանց հիմնային սահման հարթության առկայության, որը ձեղքում է լանջը՝ զաղաթից մինչև ստարություն: Սա այն դեպքն է, եթե բացակայում է քայլքայումը ձեափոխված մարմնի մասշտարություն:

### Մատրայ-Գլունցերբերգ (Matrei-Glunzerberg) արեելյան Տիրություն

Այս լանջն ունի 1100—1200 մ բարձրություն (Հյուախից հարավ) և 24 միջին թերություն (նկ. 3): Կազմված է զիխավորապես «պենինյան գոտու» վերնամասերի և «Մատրայ գոտու» ներքնամասերի ֆիլտրներից, կրային ֆիլտրներից և կրային թերթաբարերից: Այդ թերթաբարերի բնդհանուր տարածումը արեելիքից դեպի արևմուտք մի քանի կիլոմետր է, բավականին հավասարաշափ անկումով,  $50^{\circ}$ — $60^{\circ}$  անկյան տակ՝ դեպի հարավ: Միայն այս լանջի վրա հնարավոր է դիտել S-հարթությունների պառայտը՝ ցածրում մոտ 1750 մ նիշի վրա նրանք ընկած են  $30^{\circ}$ — $60^{\circ}$  դեպի Հյուսիս (լանջի խորքը), ետ շեղվելով դեպի ուղղունալ թերումը (լանջից դեպի դուրս) ստորոտի մոտ Բրետերվանդ վտակի մակարդակի վրա և ձեափոխված լանջի արևմայան կողմում:

Հարթությունների կառուցվածքի այսպիսի դեֆորմացիան կարելի է անվանել «ներքին պառայտ» (Internrotation, ըստ Զանգերի). այն ցույց է տալիս որ ստորվածուրայի բազագրիչների տեղաշարժումները ամրող մարմնի շափակերի համեմատ մեծ չեն: Այլ խոսքով ձեախախտված մարմնի մասշտարով այդ գեֆորմացիան կարելի է անվանել պլաստիկ (լայն իմաստով): S-հարթությունների կառուցվածքի այս դեֆորմացիայի հետ կապված են սահրի որոշ հարթությունները լանջի վերնամասում: Նրանք զարգանում են շատ պարզ և կանոնավոր, կառուցվածքի բազագրիչների (Teilkörger) փորբության, ինչպեսև նյութի ու կառուցվածքի վիճակագրական համասեռության հետեւքով (Clar, 1963): Հատկանշական է, որ այդ հարթությունները չեն հատում ամրող մարմինը, այլ վերջանում են նրա մեջ՝ զեպի ներքի: Այդ բանում կարելի է համոզվել նրանց մերկացումների մերժուգիտական բարտեղագրությամբ, ինչպես և որոշ կրիտիկական կետերում կառուցվածքի անմիջական դիտումով (Բրետերվանդ վտակի երկայնությամբ): Այդ պատճառով սահմի այս հարթությունները ցույց են տալիս մարմնի մեջ տեղի ունեցող քայլքայումները «տեսանելի հենց ձեախախտված զանգվածի մասշտարում» բայց ցույց չեն տալիս ողջ մարմնի քայլքայումը: Հետեւապես, այդ գեֆորմացիան կարելի է անվանել շնորհատվող, իսկ ժամանակից կախված լինելու հետեւանքով՝ նույնիսկ մածուցիկ, սոսկ ուղղուգիտական իմաստով: Նման իրազրությունը բնորոշ է այն

արժման համար, որը մենք անվանում ենք «նստեցում» (Sackung. տե՛ս ավելիվածք):

Եթե ուշադրություն դարձի սահքի հարթությունների բաշխման և S-հարթությունների պառականին (նկ. 3), կարելի է նկատել, որ այդ երկու տիպի գեֆորացիաները (սահքի և մածուցիկի) համարյա բաժանված են: Այդ իսկ պատճենով պետք է ընդունել, որ լանջի վերնամասի վարքը առավել կարծր էր, քան բանակը ներբնամասինը: Նույնը կարելի է արտահայտել Զանդերի տերմիններով, որ վերնամասի «մասնակի շարժականությունը» ավելի փոքր էր քան անելով, որ վերնամասի «մասնակի շարժականությունը» ավելի փոքր էր քան աներքնամասինը: Մյուս կողմից ամբողջ մարմինը սկզբում նյութի հանդեպ միանամասն վայր էր, այսինքն նրա «պոտենցիալ մասնակի շարժականության» (potentielle Teilbeweglichkeit) հանդեպ: Այդ պատճառով երկու վայրերի գույքությունը տարբեր «էֆեկտիվ մասնակի շարժականությամբ» (effective Teilbeweglichkeit) պետք է կապված լինի լանջի մարմնի լարումների բաշխության առանձնահատկությունների և «ժայռապարի» նյութերի մեխանիկական հատկությունների հետ (ի տարբերություն ժայռի—goek և ժայռապարի—goek mass, զերմաններն՝ Gestein և Fels կամ Gebirge տե՛ս օրինակ Müller, 1963):

### Միջանուր Ալմ (Millstätter Alm) նադենտայնում (Կարինտիա)

Այս շարժման պատկերը շատ նման է Մատրայի շարժման պատկերին (նկ. 7): S-հարթությունների ներքին պատրաստ կարծր վարքի ներքեռում գտնվող շրջանի և ոչ-մեծ գեֆորմացիա, որը կենարոնացված է պարզորոշ հարթությունների երկայնությամբ, որոնք վերջանում են դեպի ցած: Թեև այս գեպքում շրջապատկեր անմիջականորեն դիտել լայնակի կարվածքը, ինչպես այն կարելի է տեսնել Մատրայի գեպքում, այդ դրույթի մեջ կարելի է համոզվել լանջի ստորառում զանգող մազնեզիտային հանքի (նկ. 6) տվյալների հիման վրա (Angel et al., 1953; Clar և Weiss, 1965):

### 3. ԴԵՅՈՐՄԱՑԻԱՅԻ ՊԼԱՆ

Բոլոր այդ շարժումները տեղի էին ունեցել հետսառցադաշտային ժամանակ-է մեծամասմբ այժմ դադարել են. բոլոր հետազոտված շարժումների մանրամասն նկարագրությունը հրապարակվել է մի ուրիշ տեղում (Zischinsky, 1966, 1969): Կոնկրետ, երկրաբանորեն քարտեզագրված «շարժման պատկեր» ներին հիման վրա կարելի է եզրակացություն հանել գեֆորմացիայի ընդհանուր պլանի մասին, որը պետք է տրահայտի երկրաշափորեն իդեալ լանջի պայմանները իդեալ նյութի վրա: Որպես փորմալ անկողոտրապիայի ֆունկցիա պլանը պետք է ենթարկվի միայն քանակական փոփոխման: Այն համապատասխանում է ի. Շայրլաուէրի կողմից հրապարակված մոդելների հետազոտության արդյունքներին (Scheiblauer, 1963): Դեֆորմացիայի ընդհանուր պլանը որոշվում է, նախ տարբեր «էֆեկտիվ մասնակի շարժումակության» երկու վայրերի առկայությամբ «պոտենցիալ մասնակի շարժումակության» մեկ շրջանի ներքո: Երկրորդը՝ որոշվում է գեֆորմացիայի վեկտորների ուղղությամբ և մեծությամբ, որը մենք կարող ենք դիտել որպես արագությունների վեկտորներ, եթե ընդունենք թե ամբողջ մարմինը ենթարկվել է գեֆորմացիայի աշդե-

ցությանը միաժամանակ (մեկ փոլային ձևափոխում): Այդ իսկ պատճառով նկ. 7, ճ.-ում այդ վեկտորները ներկայացված են հոսքի գծերով և արագությունների բաշխման դրաֆիկի ուղղագիծ գծերի երկայնությամբ:

#### 4. ՄԵԽԱՆԻԿԱԿԱՆ ՄԵԿՆԱԲԱՆՈՒՄ

Կարելի է ենթադրել, որ այս գեֆորմացիաները առաջացել են մնացորդային լարումներից, երկրաշարժերից և ծանրության ուժից: Ես չեմ կարող դանել մնացորդային լարումների և երկրաշարժերի ներգործության որևէ բանալի: Այդ պատճառով ծանրության ուժը մնում է միակ իրական էֆեկտիվ ուժ:

Սացագաշտային ծածկությի համար Հեֆելիի ենթադրության համաձայն ընդունենք, որ արդյունքային շոշափող լարումն աճում է գծայնորեն՝ խորոշացնելով համարին (Haefeli, 1961): Այդ թույլ է տալիս վերաբարձրել «ճայռապարհ» նյութի հատկությունները:

Հարկ է անտեսել, որ գեֆորմացիան «լանջի մասշտաբով» մասնակի ընդհատվում է, զրա համար պետք էր դիտել մեծ շրջան: Այս գեպքում ամենապարզ մոդել պետք է հանդիսանա նյուտոնյան հեղուկը, որը ցույց է տալիս գծային հարաբերությունը գեֆորմացիայի և արագության և սահքի և լարման միջև:  $\varepsilon = \frac{1}{\mu} \tau$  ( $\mu$  — մածուցիկությունն է, նկ. 8): Բայց այդ մոդելը չի բավարարում մեր շարժման պատկերին: Այն չի բացատրում ներքին փոքր գեֆորմացիայի մակերեսը զանգվածի վերին մասում: Այդ հատվածը անվանելով կարծր, մենք գտնում են թինգամյան մարմինը լիովին համապատասխան  $\tau = \tau_0 + \mu \varepsilon$  ( $\tau^0$  սողքի դիմագրությանը այն խորության վրա, որտեղ սկսվում է գեֆորմացիան  $= \tau$  շերտատման վերին ոլորքի մոտ Մատրայում և Խաղենտայնում սրբ Յանձնություն (sighting of foliation): Բայց եթե ենթադրենք, որ գեֆորմացիան կատարվել է և լանջի այս հատվածում նույնպես, այն ժամանակ մենք պետք է կապենք  $\tau$  և աստիճանական ֆունկցիայով  $\varepsilon = \alpha \tau^b$ . սա «անկատար մածուցիկ հեղուկ» է ըստ Հեֆելիի (Haefeli, 1961) կամ «սարուկտուրային մածուցիկ հեղուկ» ըստ Կյոռների (Körner, 1964): Այս հավասարումը, հավանաբար հանդիսանում է պարզագույն մի մոդել, որը կիրառելի է ժայռապարների վերաբերյալ: Այն կարծես նույնպես լավ է ներկայացնում ընդհանուր իմաստով մի շարք ուրիշ ուշալ մարմինների մածուցիկ վարքը: Այսպես, օրինակ, ձյունը և սառույցը ենթարկվում են Հեֆելիի հավասարմանը (Haefeli, 1939, 1961): Այդ նյութերը ցույց են տվել ա և բ պարամետրերի որոշ նշանակությունները նույնպես: Պարամետր ա հանդիսանում է ջերմաստիճանի ֆունկցիա, բ — լարման ընդհանուր դրության, մեխանիկական պատմության և այլնի ֆունկցիա է: Որպեսզի բացատրենք հոսքի արագության կորագիծը իր ներքին մասում (նկ. 7, a), ավելի գերադասելի է փոխել սահքի լարման գծային դասավարման մասին ենթադրությունը, քան դուրս բերել մեկ ուրիշ ուղղողիքական մոդել:

#### ՇԱՐԺՄԱՆ ԶԱՐԳԱՑՈՒՄԸ ԺԱՄԱՆԱԿԱԿԻ ԸՆԹԱՑՔՈՒՄ

Բոլոր այդ դրույթները կարող էին դուրս բերվել անցյալում տեղի ունեցած շարժումների պատկերի երկրաբանական բարտեզագրման հիման վրա: Այդ պատճառով էլ զրանք ամբողջությամբ առած իր ներքին մասում (նկ. 7, a), ավելի գերադասելի է փոխել սահքի լարման գծային դասավարման մասին ենթադրությունը, քան դուրս բերել մեկ ուրիշ ուղղողիքական մոդել:

սրաբերական պայմաններ և հավանական է վերաբերում են մեկ մոմենտի։ Սակայն այդ ոչինչ շի ասում շարժման և արագությունների ժամանակի թացքի բաշխման մասին։ Ի նկատի ունենալով այս հարցի կարևորությունը։ Առաջ է արվել ստանալու գոնե տեսական պատասխան։ Վերը քննարկված ատկությունների վերաբերյալ եղած ժայռապարների վարքը, հավանորեն անդիսանում է մածուցիկ հեղուկի վարք։ Այդ պատճառով կարելի է ժայռապարին վերագրել մածուցիկ հեղուկի նաև այլ հատկանիշները։ Գործածելով սկս հիպոթեզը հնարավոր է կիրառել ժայռապարի հանդեպ ուրիշ «կարծր» դարմինների սողբի դիագրամներ (ժամանակ-դեֆորմացիայի դիագրամ) (Höller, 1958)։ Կ. Հյոփերը տարբերում է երկու հնարավորություններ (նկ. 9). առողջինը տեղի է ունենում ցածր լարումների տակ։ Այստեղ սկզբում դիտվում է դեֆորմացիայի բարձր արագություն (սկզբնական հոսք), որը ասիմպտոտիկ սրբն մոտենում է զրոյի։ Բայց եթե լարումը գերազանցում է մի ուրիշ մեծություն, կարելի է դիտել երկրորդային և երրորդային սողբ, այսինքն ստացիոնար հոսք և «բայթայիշ հոսք» (breaking flow, Bruchfließen), որը վերջնականապես բերում է դեպի ջարդումը։

Այլ կերպ ասած, մարմինը կրայքայի կախված լինելով միայն ժամանակից, մի լարման տակ, որը կարող է առավել ցածր լինել քան նրա սահմանափակությունը։ Այս դրույթները համապատասխանում են երկրաբանական փուլումներին։ Լանջի շարժումը շպետք է գերազանցի «նստեցման» շրջանին (Sackung)։ Այս ճանապարհով լանջը կարող է գտնել մի կայուն ձև, որը կը անպանվի դեֆորմացիայի հետևանքով տեղի ունեցող լարման նվազեցման անորհիվ։ Մյուս կողմից «նստեցումը» կարող է վերածվել «սահեցման» (Gleitung, 1996)։ Շարժումը դեռ էլի կարող է լինել դանդաղ, սակայն այն կարող է արագանալ՝ մինչև աղետալի արագությունների։ (Müller, 1964)։ «Սահեցման» ուսկ տեսական դեպքում աղետալի արագությունների հարցը կախված է արեն զարգացած սահեցման մակերևույթի հատկություններից, որի հաշվարկան համար հավանական է կարող են գործածվել գրունտների մեխանիկայի կրունքները։ Գործնականում աղետային արագությունների հարցը շատ համար կախված է լանջի ստորոտում գտնվող հարաբերականորեն փոքր գոտուց, որը գեռես ենթարկվում է պլաստիկ դեֆորմացիայի։

### ՀԱՎԵԼՎԱԾ

#### Զարիվայր շարժումների սահմանումը

«Նստեցում» (Sackung) լընդհատվող\* դեֆորմացիայի մեծությունը (լընդհատվող ձևախախտված զանգվածի մասշտաբում) մեծ է համեմատ սահեցման հիմնային մակերևույթի երկայնությամբ տեղաշարժման հետ։ «Դանդաղ» արագություններ։

«Սահեցում» (Gleitung)։ Շարժման գլխավոր մասը կենտրոնանում է սահեցման հիմնային հարթությունում և կարող է հասնել տեղաշարժվող զանգվածների շափի մեծության։ Հնարավոր են «բարձր արագություններ»։

\* Այստեղ ի նկատի է առնվազ աղճատումը սողբի փուլում (ծան. խմբ.)։

Սահմանային դեպքեր (օրինակ Ֆլիս-Նիդեռ Գալմիգ, Պֆորչվինկել): Պարզությունով դանդաղ սողբը մեծ տարածությունների վրա, այսինքն երկարատև է: Այն հարկ էր անվանել «նստեցում», երբ լրացուցիչ առկա է մեծ պլաստիկ դեֆորմացիա, հակառակ դեպքում գերադասելի է գործածել «սահնեցում» տերմինը:

Այս որոշումները տիպիկ դեպքերում համապատասխանում են Տերցագի «սողք» և «սողանք» տերմիններին (Տերցագ, 1958): Տերցագին տարրերում է նրանց ըստ արագության հատկանիշները:

Սակայն արագությունը կարելի է դիտել միայն առկայիս շարժումների մեջ և նույնիսկ այդ ժամանակ էլ արագությունը չունի բնորոշ մեծություն՝ բրովզետե այն պետք է դիտվի շարժվող զանգվածների շափերի վերաբերմամբ, իսկ աղետալի արագությունների պրոբլեմի կապակցությամբ նաև պլաստիկուն ձևախախտված զոտու շափերի վերաբերմամբ: Այդ պատճառով գերադասելի էն վերը նշված բնորոշումները, որոնք հիմնված են շարժման պատկերի վրա:

## О ДЕФОРМАЦИИ ВЫСОКИХ СКЛОНОВ\*

Доктор У. ЦИШИНСКИ\*\*

### ПРЕДИСЛОВИЕ К АРМЯНСКОМУ И РУССКОМУ ПЕРЕВОДАМ

Мне доставляет большое удовольствие опубликование в настоящих трудах «Проблемы геомеханики» моей статьи для армянских коллег, хорошо известных своим высоким стилем работы.

Я полагаю, что для данной аудитории, помимо результатов наблюдений, интересны также концепция и принцип статьи.

В статье затрагиваются два основных положения. Оба являются предпосылками для будущего более точного технического контроля деформации скальных пород.

Первый заключается в изучении возможного реагирования естественных скальных пород путем исследования «картины движения» завершившихся деформаций. Это должно быть сделано чисто феноменологическим путем, т. е. в терминах и методами геологии.

Вторая проблема заключается в механической интерпретации этих геологических наблюдений: «перевод» геологических описаний терминами механики.

Вероятно интересно также упомянуть о происхождении этой работы и ее концепции.

С одной стороны, известно, что в альпийских странах подобные явления наблюдаются очень часто. Они представляют все больший интерес в гражданском строительстве и в некоторых случаях даже становятся проблемой региональной геологии.

\* Перевод с английского Л. А. Аршакуни.

\*\* Ассистент геологического института Университета в Вене (Австрия).

С другой стороны, со временем исследований Зандера и Шмидта в двадцатых годах настоящего столетия применение механической точки зрения на геологические проблемы представляет собой существенную часть геологических наук в Австрии (например Clar, 1965; Müller, 1963; Sander, 1930; Schmidt, 1932; Stini, 1929—1957).

В дополнение к вышесказанному понятие „структурная петрология“ (английский термин *structural petrology* является не совсем точным переводом немецкого *Gefügekunde*, неполностью отражающим цели этой науки) Зандера и Шмидта общеизвестно австрийским геологам. Поэтому наука „*Gefügekunde*“ кажется наиболее подходящей формой структурной геологии,ющей подготовить геологические факты для механического анализа.

УЛЬФ ЦИШИНСКИ

**Р е ф е р а т.** В течение последних лет было проведено геологическое исследование крупных оползней и ползучести скальных масс. Эти движения уполаживали склоны, которые сделались неустойчивыми при отступании долинных ледников. Приведено описание некоторых наиболее поучительных примеров; они показывают, что ползучесть скальных пород является очень важным фактором деформации высоких склонов и что существование поверхностей скольжения не обязательно. Картину их движения могут быть приведены к общему плану деформации, соответствующему идеальному склону. Этот общий план деформации определяется векторами скоростей и видом «частичной подвижности». Принимая линейное распределение сдвигающего напряжения в вертикальном направлении, происходящего от гравитации, можно сделать вывод о механических свойствах скальных масс:

1. Скальная масса обладает сопротивлением сдвигу, возрастающим с гидростатическим давлением и зависящим от рассматриваемой области.

2. Изучая достаточно большую область, можно описать движение с помощью реологической модели, называемой «несовершенной вязкой жидкостью» Хефели  $\dot{\epsilon} = a\tau^b$  ( $\dot{\epsilon}$  — скорость деформации,  $\tau$  — напряжение сдвига). В настоящее время значение параметров  $a$  и  $b$  может быть установлено только по сравнению с другими материалами; их точное определение является задачей будущих работ.

## 1. В В Е Д Е Н И Е

В 1962 г. К. Терцаги опубликовал статью «Устойчивость крутих склонов в твердых невыветрелых скальных породах» (Terzaghi, 1964). В последней главе этой статьи указывается, что «практически ничего не известно относительно механизма глубоко-расположенных крупных оползней». Он, Терцаги, по-видимому полагает, что все явления, носящие название *Bergzerreiung* — «горное раскалывание» О. Ампферера (Ampferer, 1939) и *Talzuschub* — «сползание в долину» И. Штини (Stini, 1941) относятся к движениям вдоль глубоко расположенных поверхностей скольжения. Далее он указывает, что величина ползучести, предшествующей скольжению и действующей на движущуюся массу скальных пород, остается неизвестной. Эти вопросы важны для наших практических и теоретических знаний о механическом поведении скальных пород (Clar, 1959). Исходя из этого, проф. Э. Клар уже в 1960 г.

поручил мне общее исследование «склоновой тектоники» (Hangtektonik по Зандеру), и я постараюсь осветить их в этой статье.

Наиболее поразительным результатом проведенного картирования является то, что ползучесть (или течение) скальных пород играет такую важную роль в деформации высоких склонов, что наличие базальной плоскости скольжения не является существенно необходимым, по крайней мере в кристаллических сланцах, обладающих высокой «частичной подвижностью» (Teilbeweglichkeit по Зандеру), к которым относятся приведенные примеры (филлиты, слюдистые сланцы и парагнейсы).

## 2. ПРИМЕРЫ

Конечно, существует много случаев, в которых движение концентрируется в базальных плоскостях. Довольно обычны также случаи, показывающие как скольжение по отчетливой поверхности, так и ползучесть внутри смесявшейся массы. Это иллюстрируется следующими двумя примерами.

### *Флис-Нидер Галмиг (Fließ-Nieder Gallmig) на юге Ландека, Тироль*

Склон сложен свитой «восточно-альпийских кварцфиллитов» и «филлитгнейсов», падающих круто к северу (в направлении долины). С западной стороны смесявшейся массы обнажение базальной поверхности скольжения может быть прослежено от вершины до подножья. Восточное обнажение не совсем ясно лишь в нижней части склона, что, возможно, связано с первичной морфологией (промоина, образованная на отметке около 1600 м, делит склон на западную и восточную части; рис. 1\*). Нижняя часть массы, смесявшаяся вдоль этой плоскости, непрерывно изгибается с выпуклостью в направлении реки Инн, образуя террасу и крутой берег. Это означает, что в нижней части скользящей массы ползучесть имела место в значительной степени. Эта часть склона представляет зону избытка массы. Но она составляет лишь небольшую часть дефицита масс верхней части склона, где обнажения плоскости скольжения окаймляют большую нишу. Разность уже эродирована и унесена рекой. Оползни подрезанного берега вдоль реки Инн показывают, что и в настоящее время движение все еще является активным.

### *Пфорчвинкель (Pfortschwinkel) в Кёдництале (Калс, Восточный Тироль)*

Крупная «раковина» этого амфитеатра, вероятно, в основном представляет собой поверхность скольжения (рис. 2). Строение (fabric) S-плоскостей (плоскости сланцеватости, термин Зандера) лучше всего

\* Рисунки см. на стр. 151—156.

может быть объяснено «склоновой тектоникой»; оно сходно со строением S-плоскостей в описанных ниже примерах Матрай и Радентайн и не может быть сомнения в том, что тело нижней части «раковины» является останцем оползневой массы. Исходя из некоторых морфологических обстоятельств, нельзя полагать, что недостающая масса была эродирована с поверхности; отсюда необходимо допустить, что масса скользнула вниз по отчетливой плоскости и была размыта протекающим перед ней ручьем; аналогичный случай наблюдался в Флис-Нидер Галмие. Таким путем было достигнуто динамическое равновесие.

Особый интерес следует проявить к тем примерам, которые показывают большие деформации без наличия базальной плоскости скольжения, рассекающей склон от вершины до подножья, иными словами, случай когда отсутствует разрушение в масштабе деформированного тела.

### *Матрай-Глунцерберг (Matrei-Glunzerberg) в восточном Тироле*

Этот склон имеет высоту 1100—1200 м (С—Ю) и средний наклон 24° (рис. 3). Он сложен главным образом филлитами, известковыми филлитами и известковыми сланцами верхов «пеннинской зоны» и низов «зоны Матрай». Эти сланцы на протяжении нескольких километров имеют общее широтное простиранье с весьма равномерным падением к югу под углом 50°—60°. Только на этом склоне возможно наблюдать вращение S-плоскостей: внизу, на отметке около 1750 м, они падают на 30°—60° к северу (внутрь склона) и отклоняются обратно к региональному наклону (от склона) у основания на уровне ручья Бреттерванд и на западной стороне деформированного склона.

Такая деформация плоскости строения может быть названа «внутренним вращением» (Internrotation по Зандеру); она указывает, что смещения компонентов структуры были небольшими по сравнению с размерами всего тела. Другими словами эту деформацию можно назвать пластичной (в широком смысле) в масштабе деформированного тела. С этой деформацией строения S-плоскостей связаны некоторые плоскости сдвига в верхней части склона. Они развиваются очень ясно и закономерно вследствие малости компонентов строения (Teilkörgte) и статистической однородности материала и структуры (Clar, 1963). Существенно, что эти плоскости не пересекают все тело, но заканчиваются в нем внизу. В этом можно удостовериться при морфологическом картировании их обнажений, а также по непосредственным наблюдениям строения в некоторых критических точках (вдоль ручья Бреттерванд). Поэтому эти плоскости сдвига указывают на разрушения внутри тела «видимые как раз в масштабе деформированной массы», но не указывают на разрушение всего тела. Следовательно, эту деформацию можно назвать непрерывной, а вследствие ее зависимости от времени—даже вязкой, совершившись в реологическом смысле. Такая ситуация характерна для движения, которое мы называем «оседанием» (Sackung, см. приложение).

Если обратить внимание на распределение плоскостей сдвига и вращение S-плоскостей (рис. 3), можно заметить, что эти два типа деформации (сдвигающая и вязкая) почти разделены. Поэтому необходимо принять, что поведение верхней части склона было более жестким, чем его нижней части. То же самое можно выразить терминами Зандера, говоря что «частичная подвижность» верхней части была меньше, чем нижней. С другой стороны все тело первоначально было единородной областью в отношении материала, т. е. по отношению к ее «потенциальной частичной подвижности» (*potentielle Teilbeweglichkeit*). Поэтому существование двух областей с различной «эффективной частичной подвижностью» (*effective Teilbeweglichkeit*) должно быть связано с особенностями распределения напряжений в теле склона и механических свойств материала «сколькой породы» (различая скалу—rock и скальную породу—rock mass, по немецки *Gestein* и *Fels* или *Gebirge*, см. например, Müller, 1963).

### *Милштеттер Альм (Millstätter Alm) в Радентайне (Каринтия)*

Картина этого движения очень похожа на картину движения Матрай (рис. 7): внутреннее вращение S-плоскостей ниже области твердого поведения и небольшая деформация, сконцентрированная вдоль отчетливых плоскостей, которые заканчиваются книзу. Хотя в этом случае нельзя непосредственно наблюдать поперечное сечение, как это можно видеть в случае Матрай, в этом утверждении можно убедиться по данным магнезитового рудника (рис. 6), заложенного в подножье склона (Angel et al., 1953; Clar u. Weiss, 1965).

### 3. ПЛАН ДЕФОРМАЦИИ

Все эти движения происходили в послеледниковое время и в большинстве случаев в настоящее время прекратились; подробное описание всех исследованных движений опубликовано в другом месте (Zischinsky, 1966, 1969). На основании конкретных, геологически картированных «картин движения» можно сделать вывод об общем плане деформации, который должен выражать условия геометрически идеального склона на идеальном материале. Как функция формальной анизотропии, этот план должен изменяться только количественно. Это соответствует результатам исследования на моделях, опубликованных И. Шайблауэром (Scheiblauer, 1963). Общий план деформации определяется, во-первых, наличием двух областей с различной «эффективной частичной подвижностью» внутри одной области «потенциальной частичной подвижности». Во-вторых, он определяется направлением и величиной векторов деформации, которые мы можем рассматривать как векторы скоростей, если принять, что все тело деформировалось единовременно (однофазное деформирование). Поэтому на рис. 7,d эти векторы показаны в виде

линий течения и графика распределения скоростей вдоль вертикальных линий.

#### 4. МЕХАНИЧЕСКАЯ ИНТЕРПРЕТАЦИЯ

Можно допустить, что эти деформации вызваны остаточными напряжениями, землетрясениями и силой тяжести. Я не мог подыскать какого-либо ключа к действию остаточных напряжений и землетрясений. Поэтому сила тяжести остается единственной реальной эффективной силой.

Согласно допущению, принятому Хефели для ледниковых покровов, примем, что результирующее касательное напряжение возрастает линейно с глубиной (Haefeli, 1961). Это позволяет воссоздать свойства материала «скользкой породы».

Следует, во-первых, пренебречь тем, что деформация «в масштабе склона» является частично прерывной; поэтому необходимо наблюдать большую область. В этом случае простейшей моделью должна быть быть Ньютона жидкость, показывающая линейное отношение между скоростью деформации  $\dot{\varepsilon}$  и напряжением сдвига  $\tau$ :  $\dot{\varepsilon} = \frac{1}{\mu} \tau$  ( $\mu$  — вязкость; рис. 8). Но эта модель не удовлетворяет нашей картине движения. Она не объясняет площади малых внутренних деформаций в верхней части массы. Называя эту часть твердой, мы находим что адекватным является Бингамово тело:  $\tau = \tau_0 + \mu \dot{\varepsilon}$  ( $\tau_0$  — сопротивлению ползучести на глубине, где начинается деформация  $= \tau$  у верхнего изгиба расслоения в Матрае и Радентайне upper bending of foliation). Но если предположить, что деформация произошла также и в этой части склона, то тогда мы должны связать  $\tau$  и  $\dot{\varepsilon}$  степенной функцией  $\dot{\varepsilon} = a \tau^b$ ; это «несовершенная вязкая жидкость» по Хефели (Haefeli, 1961) или «структурная вязкая жидкость» по Кернеру (Köglper, 1964). Такое уравнение, вероятно, является простейшей моделью, применимой к скальным породам. Оно кажется также хорошо представляет, в общем смысле, вязкое поведение многих других реальных тел. Так, например, снег и лед подчиняются уравнению Хефели (Haefeli, 1939, 1961). Были также показаны некоторые значения параметров  $a$  и  $b$  этих материалов: параметр  $a$  является функцией температуры,  $b$  — функция общего состояния напряжения, механической истории и т. д. Чтобы объяснить нижнюю часть кривой скорости течения  $\dot{\varepsilon}$  (рис. 7, а), предпочтительнее изменить допущение о линейном распределении сдвигающего напряжения, чем выводить другую реологическую модель.

#### 5. РАЗВИТИЕ ДВИЖЕНИЯ ВО ВРЕМЕНИ

Все эти положения могли быть выведены на основе геологического картирования картины движений имевших место в прошлом. Они поэтому представляют собой относительные условия в целом и, вероятно, относятся к одному моменту.

Но это ничего не говорит о распределении движения и скоростей во времени. Ввиду важности этого вопроса, была сделана попытка получить, по крайней мере, теоретический ответ. Поведение скальных пород по отношению к вышерассмотренным свойствам, очевидно, является поведением вязкой жидкости. Поэтому скальной породе можно приписывать также и другие свойства вязкой жидкости. Используя эту гипотезу, можно применить диаграмму ползучести (диаграмма время—деформация) других «твердых» тел к скальной породе (Höfer, 1958). К. Хефер различает две возможности (рис. 9); первая имеет место при низких напряжениях. Здесь вначале наблюдается высокая скорость деформации (первичное течение), асимптотически приближающаяся к нулю. Но если напряжение превышает определенную величину, можно наблюдать вторичную и третичную ползучесть, т. е. стационарное течение и «разрушающее течение» (breaking flow, Bruchfließen), окончательно ведущее к разлому.

Иначе говоря, тело будет разрушаться в зависимости только от времени, при напряжении, которое может быть намного меньше его сопротивления сдвигу. Эти положения соответствуют геологическому наблюдению: движение склона не должно превышать стадии «оседания» (Sackung); этим путем склон может приобрести устойчивую форму, которая будет сохраняться благодаря уменьшению напряжения, происходящему вследствие самой деформации. С другой стороны, «оседание» может перейти в «скольжение» (Gleitung, см. приложение), что является разрушением склона (Pacher, 1966). Движение может быть медленным, но оно может ускориться до катастрофических скоростей (Müller, 1964). В чисто теоретическом случае «скольжения» вопрос о катастрофических скоростях зависит от свойств уже развившейся поверхности скольжения, для вычисления которой вероятно могут быть использованы принципы механики грунтов. На практике вопрос о катастрофических скоростях очень часто зависит в большей степени от относительно малой зоны у подножья склона, которая все еще подвергается пластической деформации.

#### ПРИЛОЖЕНИЕ

##### *Определение движений вниз по склону*

«*Оседание*» (Sackung). Величина непрерывной\* деформации (не прерывной в масштабе деформированной массы) велика в сравнении с перемещением вдоль базальной поверхности скольжения. «Замедленные» скорости.

\* Здесь имеется ввиду перекашивание в фазе глубинной ползучести (прим. редактора).

**«Скольжение» (Gleitung).** Главная часть движения концентрируется в базальной плоскости скольжения и может достичь величины размера смещающихся масс. Возможны «высокие» скорости.

**Пограничные случаи** (например Флис-Нидер Галмиг, Пфорчвиль). Медленная ползучесть по отчетливой плоскости на большие расстояния, что означает за длительное время. Его следовало бы назвать «соседанием», когда вдобавок имеется большая пластическая деформации, в противном случае предпочтительнее употребить термин «скольжение».

Эти определения в типичных случаях соответствуют терминам «ползучесть» и «коползень» по Терцаги (1958). Терцаги различает их по признаку скорости. Однако скорость можно наблюдать только в современных движениях и даже тогда она не имеет характерной величины, так как она должна рассматриваться по отношению к размерам движущихся масс, а в связи с проблемой катастрофических скоростей—по отношению к размерам пластически деформированной зоны. Поэтому предпочтительны вышеуказанные определения, основанные на картине движения.

## ON THE DEFORMATION OF HIGH SLOPES\*

Dr. ULF ZISCHINSKY\*\*

### PREFACE TO THE ARMENIAN AND RUSSIAN TRANSLATIONS

It takes me great pleasure to publish in these Transactions for the Armenian colleagues wellknown for their high standard of work. What I expect to be of interest for this forum is, besides the data of observation, the concept and the point of view of this paper.

There are two main points this paper is concerned with. Both are presuppositions for future more accurate technical control of rock deformations.

The first is to learn about the possible reactions of natural rock masses by studying „movement pictures“ of finished deformations. This has to be done in a quite phenomenological way i.e. in terms and by methods of geology.

The second problem is the mechanical interpretation of these geological descriptions into terms of mechanics.

Perhaps it is also interesting to mention the background of this work and its concept.

\* Published in Proceedings, First Congress, International Society for Rock Mechanics, Lisbon 1966, 2:179—185.

\*\* Assistant at the Geological Institute of the University of Vienna.

On the one hand we have to quote that in an alpine country such phenomena are found very often. They more and more are of interest in civil engineering and in certain cases even become a problem of regional geology.

On the other hand since the investigations of Sander and Schmidt in the nineteen twenties the application of the mechanical point of view on geological problems is a vivid part of geosciences in Austria (e.g. Clar, 1965; Müller, 1963; Sander, 1930; Schmidt, 1932; Stini, 1929—1957). In addition the ideas of "structural petrology" (a translation of the German term "Gefügekunde" not being adequate to the claim of this science) of Sander and Schmidt are common knowledge of Austrian geologists. And it is this science "Gefügekunde" which seems to be the most suitable form of structural geology to prepare geological facts for mechanical analysis.

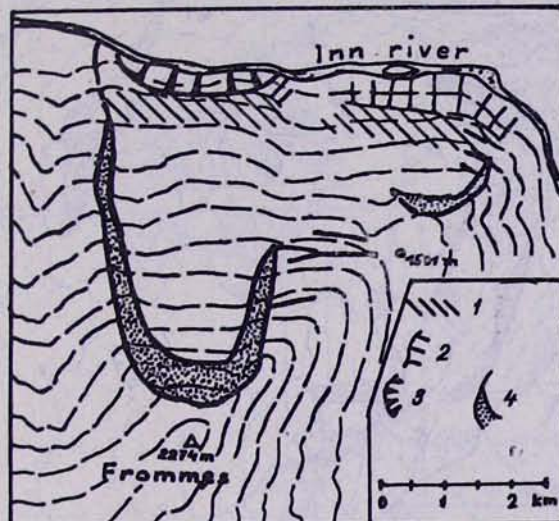
ULF ZISCHINSKY

## ԳՐԱԿԱՆՈՒԹՅՈՒՆ — ЛИТЕРАТУРА — REFERENCES

## Կրիպումներ — Сокращения — Abbreviations

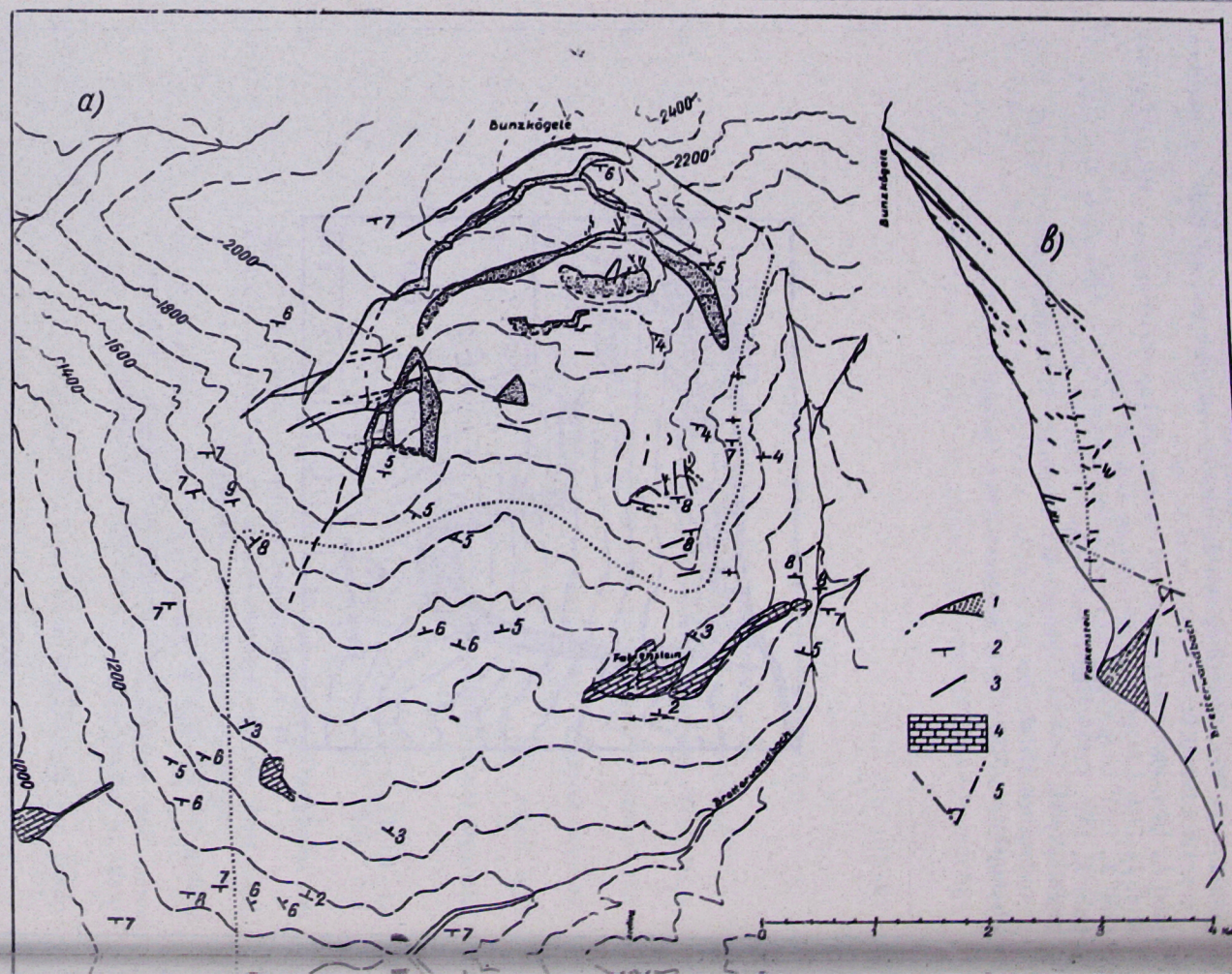
- FI—Felsmechanik und Ingenieurgeologie, GB—Geologie und Bauwesen.  
**Мюллер Л.**, 1967. Оползень в долине Вайонт. Проблемы инж. геологии, Изд. «Мир», Москва, 4: 74—141.  
**Терцаги К.**, 1958. Механизм оползней. Проблемы инж. геологии, Изд. иностр. лит., Москва, 1: 174—219.  
**Терцаги К.**, 1964. Устойчивость крутых склонов в невыветрелых скальных породах, Проблемы инж. геологии, Изд. «Мир» Москва, [3]: 345—371.  
**Ampferer O.**, 1939. Über einige Formen der Bergzerreibung. Sitz. Ber. Akad. Wiss. Wien, m-n. Kl., 148:1—14.  
**Angel F., Awerzger A. und Kuschinsky A.**, 1953. Die Magnesitlagerstätte Millstätter Alpe bei Radenthein. Carinthia 2(63):98—118.  
**Clar E.**, 1959. Gebirgsbau und Geomechanik. GB, 25:186—190.  
**Clar E.**, 1963. Gefüge und Verhalten von Felskörpern in geologischer Sicht. FI, 1:4—15.  
**Clar E.**, 1965. Über den geologischen Gegensatz von Gestein und Fels. Mitt. Inst. Grundbau u. Bodenmechanik, Tech. Hochschule Wien, 6:41—53.  
**Clar E. und Weiss P.**, 1965. Erfahrungen im Talzuschub des Magnesit-Bergbaues auf der Millstätter Alpe. Berg-Hüttenm. Mh. 110:447—460.  
**Haefeli R.**, 1939. Schneemechanik mit Hinweisen auf die Erdbaumekanik. Beitr. Geol. Schweiz, Geotechn. Ser., 3 Lief. „Der Schnee und seine Metamorphose“.  
**Haefeli R.**, 1961. Eine Parallele zwischen der Eiskalotte Jungfraujoch und den großen Eisschildern der Arktis und Antarktis. GB, 26:191—213.  
**Hofer K. H.**, 1958. Die Gesetzmässigkeit des Kriechens der Salzgesteine und deren allgemeine Bedeutung für den Bergbau. Abh. Dt. Akad. Wiss. Berlin, Kl. Bergbau u.s.w., 2a:29—35.  
**Körner H.**, 1964. Schne- und Eismechanik und einige ihrer Beziehungen zur Geologie, FI, 2:47—67.  
**Müller L.**, 1963. Der Felsbau, I. Bd., Stuttgart, Ferdinand Enke.  
**Müller L.**, 1964. The rock slide in the Vajont valley. FI, 2:148—212.  
**Pacher F.**, 1966. Beitrag zur Mechanismus der Bruchbildung in geklüfteten Medien. Proceedings, First Congress, Intern. Soc. Rock Mechanics, Lisbon 1966, 1:433—437.  
**Sander B.**, 1930. Gefügekunde der Gesteine. Wien, Springer.

- Sander B., 1948. Einführung in die Gefügekunde der geologischen Körper, I Bd. Wien, Springer.
- Scheiblauer J., 1963. Modellversuche zur Klärung des Spannungszustandes in steilen Böschungen. Fl, 1:72—77.
- Schmidt W., 1932. Tektonik und Verformungslehre. Berlin, Bornträger.
- Stini J., 1929. Richtungsbedingtheit der Gesteinsfestigkeit und der Bodeneigenschaften. GB, 1:120—122.
- Stini J., 1939. Ingenieurgeologie und Ingenieurgeologischer Unterricht. GB, 11:121—139.
- Stini J., 1941. Unsere Täler wachsen zu. GB, 13:71—79.
- Stini J., 1951. Baugeologische Fallwinkelmessungen und ihre Auswertung. GB, 18:65—82.
- Stini J., 1957. Verwerfungen und Talsperrenbau. GB 23:52—54.
- Zischinsky U., 1966. Bewegungsbilder instabiler Talflanken. Mitt. Ges. Geol. Bergbaustud. 17:127—168.
- Zischinsky U., 1969. Über Sackungen. Rock Mechanics. 1(1).



Կ. 1. Ֆլիմ-Նիդեր Գալմսից Գալմսից: 1—գարատափ. 2—զիքափ. 3—ակտիվ սողանք. 4—սահեցման հարթության մերկացում:

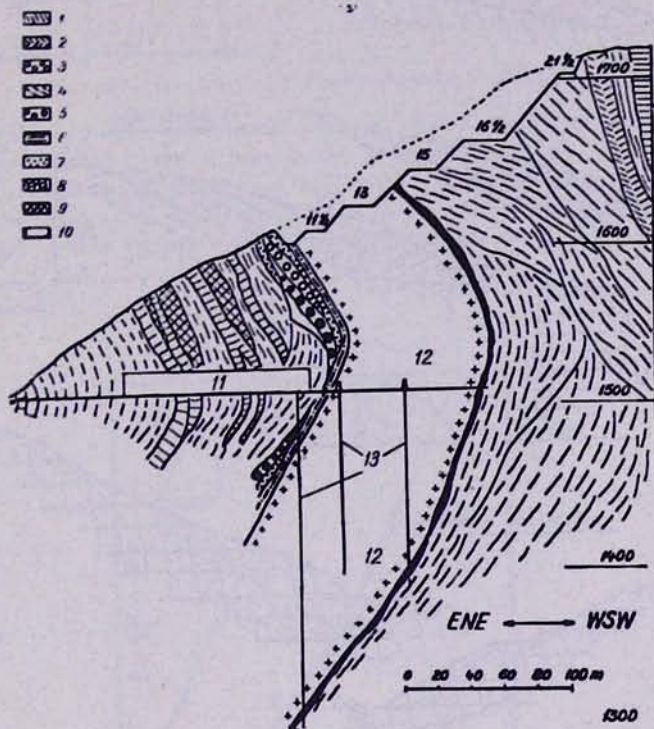
Рис. 1. Флис-Нидер Галмсиг. 1—терраса; 2—крупный берег; 3—активный оползень; 4—обнажение плоскости скольжения.



н.к. 3. Швейцария. Чигиришерберг (Горы Альпы): а—схема обстановки (археология Швейцарии); б—I—I профиль (левый берег реки Альбигенз): 1—дайка базальта; 2—дайка базальта с гипсом; 3—дайка базальта с гипсом; 4—дайка базальта с гипсом; 5—дайка базальта с гипсом; 6—дайка базальта с гипсом; 7—дайка базальта с гипсом; 8—дайка базальта с гипсом; 9—дайка базальта с гипсом; 10—дайка базальта с гипсом.

Рис. 3. «Осадание» Матрай—Глунцерберг (восточный Тироль). а) план, б) разрез по линии I—I.

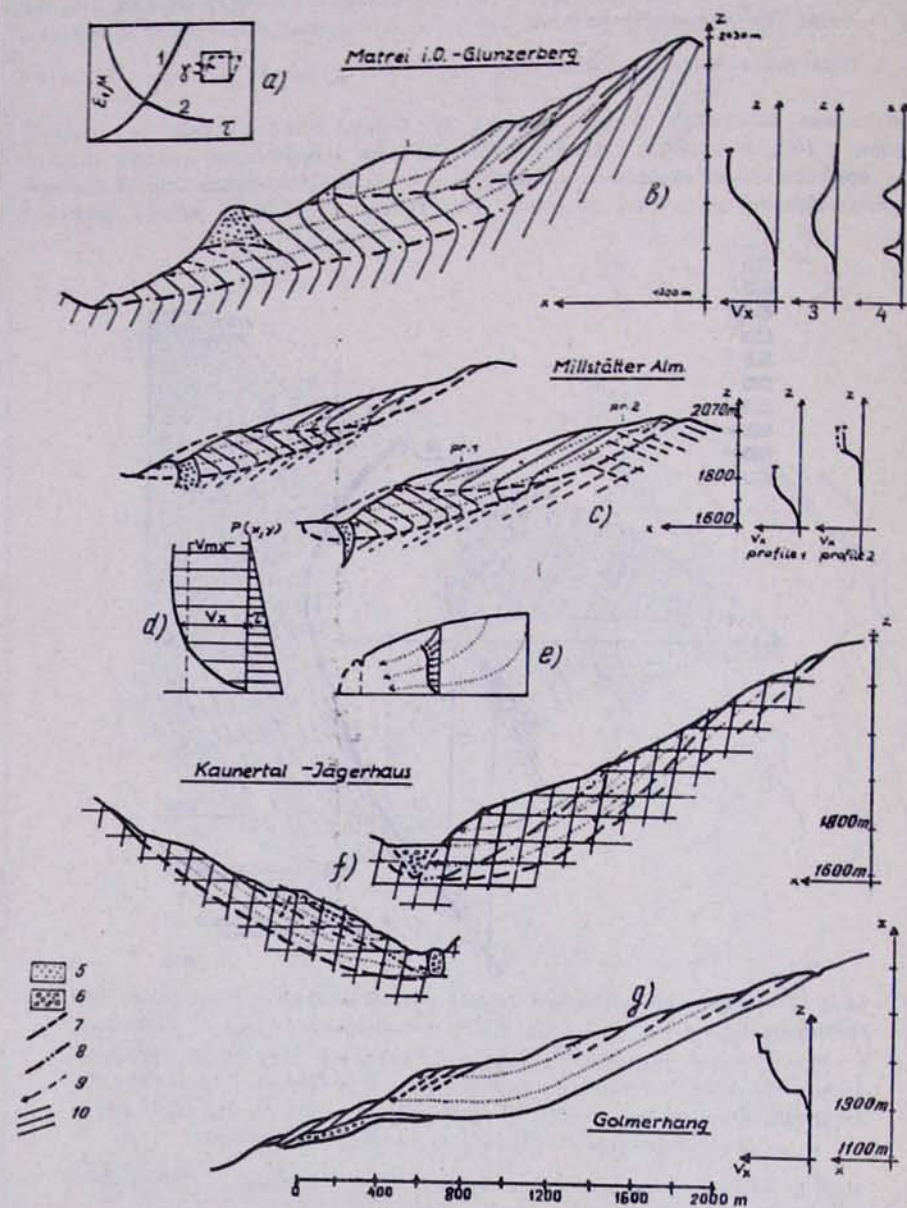
I—обнажение вследствие неравномерности движения; 2—простиранье и падение (падение в 10°); 3—падение плоскостей сланцеватости в поперечном сечении (простиранье приблизительно нормально к разрезу); 4—доломит; 5—плоскости, показывающие линзообразное включение доломита в настоящее время и до начала движения.



н.к. 6. Швейцария. Чигиришерберг (Горы Альпы): 1—нижний базальт, 2—верхний базальт, 3—базальт с гипсом, 4—базальт с гипсом, 5—базальт с гипсом, 6—базальт с гипсом, 7—базальт с гипсом, 8—базальт с гипсом, 9—базальт с гипсом, 10—базальт с гипсом, 11—главная штолня, 12—магнезит, 13—глубокие буровые скважины.

Рис. 6. Геологический разрез по магнезитовому руднику, Радентайн в Каринтии (по F. Angel et al., 1953).

1—гранатовый слюдистый сланец; 2—роговообманковый слюдистый сланец; 3—гранатовый биотитовый шифер; 4—граувакковый шифер; 5—радентайнит; 6—амфиболит; 7—диапирит; 8—известковый мрамор; 9—доломит; 10—глинистый залывной; 11—главная штолня; 12—магнезит; 13—глубокие буровые скважины.

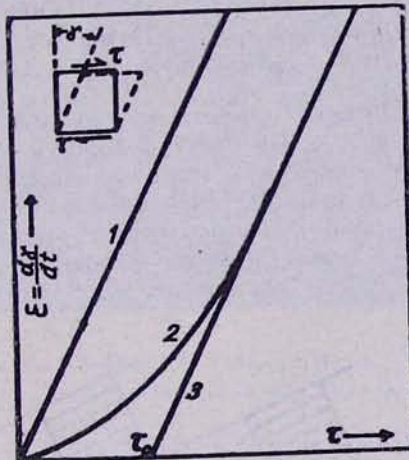


7. Անձագարեների և սառուցի նոսիք: а) Սառուցի բնրացի օրենքը ըստ Գլենի. 1—կուտացչ  $\varepsilon = k\tau^n$ ; 2—ոտեղ  $\varepsilon = \frac{d\tau}{dt}$ ; 3—կորացիծ  $\varepsilon = \frac{\tau}{t}$ . б) Մատուցյանցերեց. 3— $\frac{dv_x}{dz} = \varepsilon$

$\frac{d^2v_x}{dz^2} = \frac{d\varepsilon}{dz}$ ; в) Միջտեսեր Ալմ. д) Սահմի լարումների և աշազությունների բաշխում.

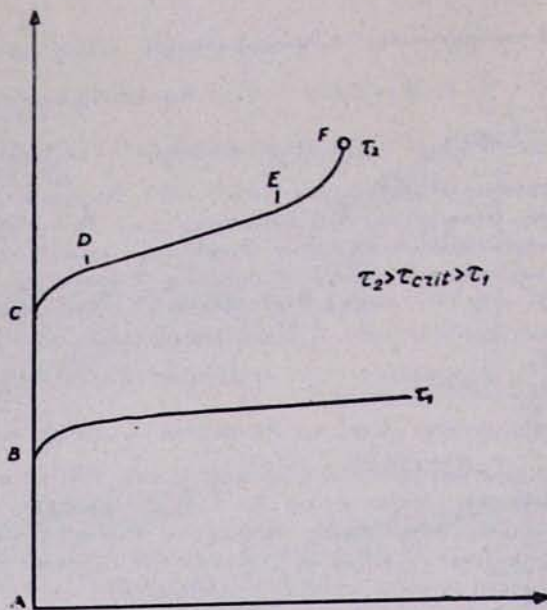
Դրենացնական սառցադաշտային վահան (բառ Haefeli, 1961). Կետային պունկտիր—ստացիոնար վահանի հոսքի գծեր, գծադիրը տրված է մանր մասշտարով. յ) Կառումներալի հղերենաւա, 7—կումերենագ: 5—զանգվածային կարունատային ապարներ. 6—հովտային բերուկներ և յորեն: 7—պոտենցիալ և զարդարության հարթություններ. 8—զառամյալ հովտի պրոֆիլ: 9—հոսքի գծեր. 10—խախտումների մեխանիկական էֆեկտիվ սիստեմ:

ис. 7. Течение горных пород и льда. а) Закон течения льда, по Глену; 1—кривая  $\varepsilon = k\tau^n$ , где  $\varepsilon = \frac{d\tau}{dt}$ ; 2—кривая  $\varepsilon = \frac{\tau}{t}$ . б) Маттрай—Глунцерберг; 3— $\frac{dv_x}{dz} = \varepsilon$ ; в)  $\frac{d^2v_x}{dz^2} = \frac{d\varepsilon}{dz}$ . в) Миллштетер Альм. д) Распределение сдвигающих напряжений скоростей. е) Гренландский ледниковый щит (по Haefeli, 1961); точечный пунктир—линии течения стационарного щита; чертеж дан в мелком масштабе. յ) Каунерталь—Егерхаус. г) Гольмерханс. 5—массивные карбонатные породы; 6—долинные наносы и морена; 7—потенциальная и развивающаяся плоскости скольжения; 8—профиль древней долины; 9—линия течения; 10—механическая эффективная система нарушений.



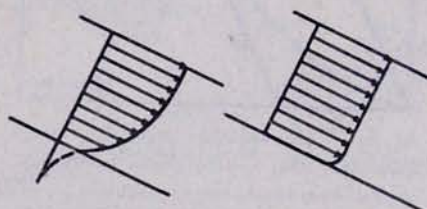
նկ. 8. Հոսքի ափակի կորացիք (բառ Haefeli, 1954). 1—Նյուտոնյան հեղուկ: 2—«անկատար մածուցիկ հեղուկ»:  $\varepsilon = a\tau^n$ ; 3—Բինգամյան մարմին:

Рис. 8. Типичные кривые течения (по Haefeli, 1954). 1—Ньютона жидкость; 2—«несовершенная вязкая жидкость»,  $\varepsilon = a\tau^n$ ; 3—Бингамово тело.



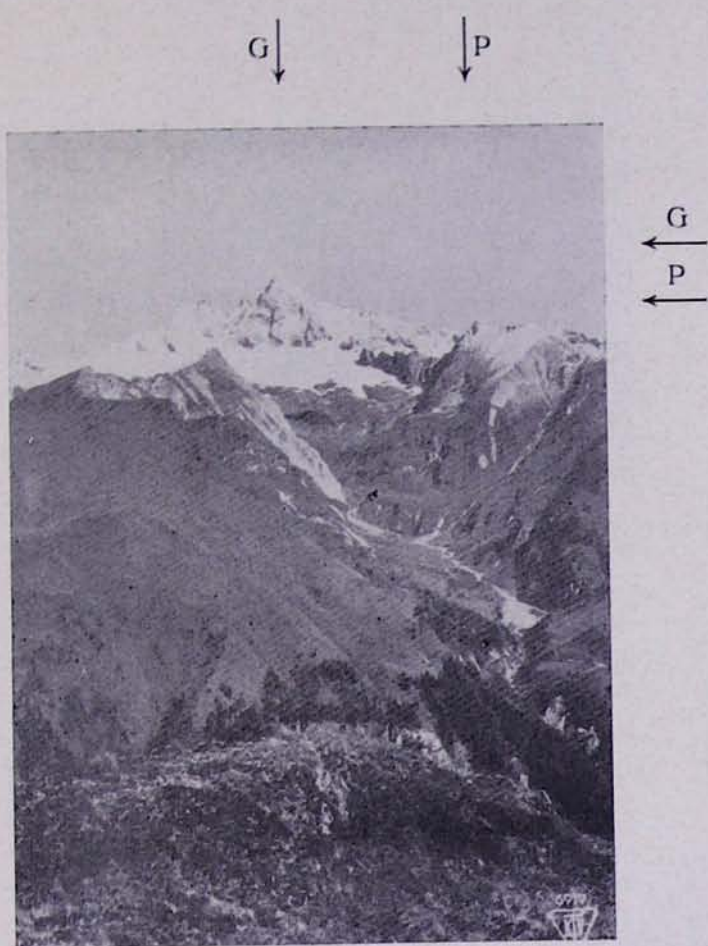
Черт. 9. Четыре стадии деформации твердого тела при постоянной нагрузке (по Höfer, 1958): Абсциссы—время, ординаты—деформация. АВ—упругая деформация; СД—первичное течение; DE—вторичное (установившееся) течение; ED—третичное течение (течение разрушения); F—разрушение.

Рис. 9. Погружение твердого тела под постоянной нагрузкой (по Höfer, 1958). Абсциссы—время, ординаты—деформация. АВ, соответственно АС—упругая деформация; СД—первичное течение; DE—вторичное (установившееся) течение; ED—третичное течение (течение разрушения); F—разрушение.



Черт. 10. Характерное распределение скоростей: а—«оседание»; б—«скольжение».

Рис. 10. Характерное распределение скоростей  
а) «Осадение»; б) «Скольжение»



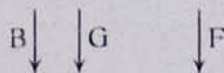
Նկ. 2. Քյողնից գետի նովիտը: (P) Պֆորշվինկել և (G)  
Գրոսգլոկներ 3797 մ լեռների տեսարանը հարավից:

Рис. 2. Долина р. Кедниц. Вид с юга на горы Пфоршвикель (P) и Гросглокнер (G) 3797 м



Նկ. 4. Գեղորածցիա «լանջային տեկտոնիկայի»  
պամբը: Թերթայնության չարթությունները  
սկզբնապես ընկնում էին ուղիղ գծով դեպի աջ:

Рис. 4. Деформация при «склоновой тектонике». Плоскости сланцеватости первоначально падали направо по прямой линии



Նկ. 5. Մառայ և (G) Գլունցերբերգ, (B) Բոնցվյոնդել և (F)  
Ֆալքենշտայն:

Рис. 5. Матрай и Глунцерберг (G). Бунцкегеде (B) и  
Фалькенштайн (F).